

## УСТОЙЧИВОСТЬ СЛОИСТЫХ ЦИЛИНДРИЧЕСКИХ ОБОЛОЧЕК, ПОДВЕРЖЕННЫХ ДЕЙСТВИЮ НЕОДНОРОДНОГО ОСЕВОГО СЖАТИЯ

Корчевская Е.А., Михасев Г.И.

*In this paper the problem of buckling of the circular thin laminated cylinder under non-uniform axial force is considered. Each layer of the shell is assumed to be isotropic. Based on the generalized kinematic hypothesis of Timoshenko, the semi-membrane differential equations of the laminated shell theory are utilized here. The critical load parameter was found.*

Рассмотрим тонкую круговую цилиндрическую оболочку длины  $L$ , состоящую из  $N$  изотропных слоев, характеризующихся толщиной  $h_k$ , модулем Юнга  $E_k$ , плотностью  $\rho_k$  и коэффициентом Пуассона  $\nu_k$ ,  $k = 1, 2, \dots, N$ . В качестве исходной поверхности примем срединную поверхность какого-либо  $k$ -ого слоя, которую отнесем к криволинейным ортогональным координатам  $\alpha_1 = R\varphi$ ,  $\alpha_2 = R\varphi$ . Здесь  $R$  - радиус цилиндра исходной поверхности,  $\varphi$  и  $s$  - окружная и продольная координаты соответственно. Пусть  $\delta_k$  - расстояние между исходной поверхностью и верхней границей  $k$ -ого слоя,  $u_i, w$  - тангенциальные и нормальное (прогиб) перемещения точек исходной поверхности,  $u_i^{(k)}$  - тангенциальные перемещения точек  $k$ -ого слоя.

Будем считать, что выполняются следующие гипотезы теории слоистых оболочек, сформулированные Э.И. Григолюком и Г.М. Куликовым [1].

1. Поперечные касательные напряжения изменяются по толщине  $k$ -ого слоя оболочки по заданному закону:  $\sigma_{i3} = f_0(z)\mu_i^{(0)} + f_k(z)\mu_i^{(k)}$

Здесь  $f_0(z)$ ,  $f_k(z)$  - непрерывные функции поперечной координаты  $z$ , удовлетворяющие условиям:

$$f_0(\delta_0) = f_0(\delta_N) = 0;$$

$$f_k(\delta_{k-1}) = f_k(\delta_k) = 0;$$

$$f_k(z) = 0; z \notin [\delta_{k-1}, \delta_k].$$

2. Нормальные напряжения, действующие на площадках, параллельных площадкам исходной поверхности, пренебрежимо малы по сравнению с другими компонентами тензора напряжений.

3. Прогиб не зависит от поперечной координаты  $z$ .

4. Тангенциальные перемещения распределены по толщине пакета слоев согласно обобщенной кинематической гипотезе Тимошенко:  $u_i^{(k)} = u_i + z\theta_i + g(z)\psi_i$ .

Функцию  $g(z)$  будем определять по следующей формуле:  $g(z) = \int_0^z f_0(z) dz$ . А функции

$\mu_i^{(0)}$ ,  $\mu_i^{(k)}$ ,  $\psi_i$ ,  $\theta_i$  введены Э.И. Григолюком и Г.М. Куликовым в [1].

Пусть оболочка подвержена действию неравномерно распределенной по контуру осевой сжимающей силы  $N^0(\varphi)$  (см. рис.1). Под действием этой силы в оболочке в докритическом безмоментном состоянии возникает мембранное осевое усилие (удельное усилие в принятой исходной поверхности [1])

$$T_1^0 = -\frac{N^0(\varphi)}{2\pi R} \quad (1)$$

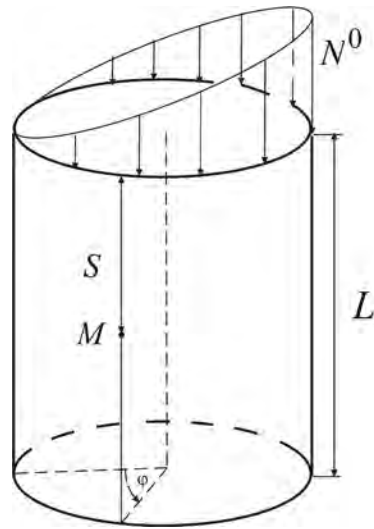


Рис. 1. Цилиндрическая оболочка

В рамках принятых гипотез в [1] выведена система двенадцати уравнений, описывающих движение слоистой анизотропной оболочки. В случае, когда физические характеристики слоев различаются незначительно и в предположении об образовании большого количества волн малой длины в окружном или осевом направлении данная система может быть сведена к системе двух уравнений, записанных в безразмерном виде [1]

$$\begin{cases} \varepsilon^2(1 - \varepsilon^3 \tau \Delta) \Delta^2 \chi + \frac{\partial^2 F}{\partial s^2} + \Lambda t(\varphi) \frac{\partial^2}{\partial s^2} (\chi - \varepsilon^2 \kappa \Delta \chi) = 0 \\ \varepsilon^2 \Delta^2 F - \frac{\partial^2}{\partial s^2} (\chi - \varepsilon^2 \kappa \Delta \chi) = 0 \end{cases} \quad (2)$$

где  $\Delta$  - оператор Лапласа в криволинейной системе координат  $\varphi, s$ ,  $F, \chi$  - функции напряжений и перемещений,  $\Lambda > 0$  - параметр нагружения,  $t(\varphi)$  - бесконечно дифференцируемая функция,  $\varepsilon$  - малый параметр, характеризующий тонкостенность оболочки и вводится следующим образом:  $\varepsilon^4 = h^2 \eta_3 / [12R^2(1 - \nu^2)]$ . Здесь  $\tau, \kappa, \eta_3$  - параметры, учитывающие поперечные сдвиги и вводятся в [2],  $h$  - толщина оболочки,  $\nu$  - осредненный коэффициент Пуассона. Осевые усилия  $T_1^0(\varphi)$  связаны с функцией  $t(\varphi)$ :

$$T_1^0(\varphi) = -\Lambda E h \varepsilon^2 t(\varphi) \quad (3)$$

В качестве граничных условий на краях рассмотрим условия шарнирного опирания:

$$F = \Delta F = \chi = \Delta \chi = \Delta^2 \chi = 0, \text{ при } s=0, l, \quad l = L/R. \quad (4)$$

Задача состоит в определении наименьшего  $\Lambda > 0$  для которого краевая задача (2), (4) имеет ненулевое решение.

Согласно [4] решение задачи (2), (4) будем искать в виде

$$\chi = \chi_m(\varphi) \sin(p_m s / \varepsilon), \quad F = \Phi_m(\varphi) \sin(p_m s / \varepsilon), \quad p_m = m\pi \varepsilon / l, \quad m = 1, 2, \dots \quad (5)$$

Возможны три случая:

$$\text{A) } p_m > z_0, \quad \text{B) } p_m < z_0, \quad \text{C) } p_m \approx z_0$$

где  $z_0$  - положительный корень уравнения

$$-2(1 + \kappa p_m z)^2 + z^4(2 + \kappa p_m z) = 0 \quad (6)$$

Ранее в [3] были рассмотрены первые два случая. Здесь рассмотрим третий.

Принимая во внимание неоднородность нагружения по окружной координате, будем исследовать формы собственных колебаний, локализованные в окрестности “наиболее слабой” образующей  $\varphi = \varphi_0$ . Введем растяжение масштаба в окрестности этой образующей:

$$\varphi - \varphi_0 = \mu\eta \quad (7)$$

Функцию, характеризующую осевое усилие, разложим в ряд в окрестности “наиболее слабой” образующей:

$$t(\varphi) = t(\varphi_0) + \mu t'(\varphi_0)\eta + \frac{1}{2}\mu^2 t''(\varphi_0)\eta^2 + \dots \quad (8)$$

Положим

$$p_m = p_* + \mu p', \quad \Lambda = \lambda_* + \mu^2 \lambda', \quad \varepsilon = \mu^{3/2} \quad (9)$$

где  $p_*$  решение уравнения

$$\kappa p_*^6 + 2p_*^4 - 2(1 + \kappa p_*^2)^2 = 0 \quad (10)$$

Представим неизвестные  $\chi_m$  и  $\Phi_m$  в виде рядов:

$$\chi_m = \sum_{k=0}^{\infty} \mu^k \chi_m^{(k)}(\eta), \quad \Phi_m = \sum_{k=0}^{\infty} \mu^k \Phi_m^{(k)}(\eta) \quad (11)$$

После подстановки (8), (9), (11) в систему (2) в нулевом приближении приходим к системе уравнений, из условия существования нетривиального решения которой находим:

$$\lambda_* = \frac{p_*^4 + \kappa p_*^2 + 1}{t(\varphi_0)p_*^2(1 + \kappa p_*^2)} \quad (12)$$

Можно заметить, что  $\lambda_*$  совпадает с параметром нагружения нулевого приближения в случаях рассмотренных в [3].

Система (2) в первом приближении, при выполнении условий (10), (12) обращается в систему тождеств. А во втором приближении приходим к дифференциальному уравнению относительно  $\chi_m^{(0)}$ :

$$\left(1 + \frac{\kappa}{p_*^2} + \frac{3}{p_*^4}\right) \frac{d^4 \chi_m^{(0)}}{d\eta^4} + 2p' \left( \frac{-4 - 5\kappa p_*^2 - \kappa^2 p_*^4}{p_*^3(1 + \kappa p_*^2)} \right) \frac{d^2 \chi_m^{(0)}}{d\eta^2} + \left( -\frac{1}{2} t''(\varphi_0) \lambda_* p_*^2 (1 + \kappa p_*^2) \eta^2 - \lambda' t(\varphi_0) p_*^2 (1 + \kappa p_*^2) + p'^2 \frac{5p_*^4 - 6\kappa p_*^2 - 5\kappa^2 p_*^4 - 1}{p_*^2 (1 + \kappa p_*^2)} \right) \chi_m^{(0)} = 0 \quad (13)$$

Решение уравнения (13), удовлетворяющее условию затухания  $\chi_m^{(0)} \rightarrow 0$  при  $\eta \rightarrow \pm\infty$ , ищем с использованием обратного преобразования Фурье:

$$\chi_m^{(0)}(\eta) = \frac{1}{\sqrt{2\pi}} \int_{-\infty}^{+\infty} W^F(\tilde{\omega}) \exp(i\tilde{\omega}\eta) d\tilde{\omega} \quad (14)$$

Применив преобразование (14), получим уравнение

$$\frac{d^2 W^F}{dx^2} + \left[ \tilde{\Lambda} - (x^4 + 2\gamma x^2 + \gamma^2 [1 + Q]) \right] W^F = 0 \quad (15)$$

где

$$\tilde{\Lambda} = \lambda' t(\varphi_0) \frac{p_*^2 (1 + \kappa p_*^2) \alpha^2}{[p_*^4 + \kappa p_*^2 + 1] \beta}, \quad \beta = -\frac{t''(\varphi_0)}{2t(\varphi_0)}, \quad x = \alpha^{-1} \tilde{\omega}, \quad \alpha = \left[ \frac{\beta p_*^4 (1 + \kappa p_*^2 + p_*^4)}{p_*^4 + \kappa p_*^2 + 3} \right]^{1/6}, \quad \gamma = p' C,$$

$$C = \frac{4p_* + 5\kappa p_*^3 + \kappa^2 p_*^5}{(1 + \kappa p_*^2)(p_*^4 + \kappa p_*^2 + 3)} \left[ \frac{p_*^4 + \kappa p_*^2 + 3}{\beta p_*^4 (p_*^4 + \kappa p_*^2 + 1)} \right]^{1/3}, \quad Q = \frac{A\alpha^2(3 + \kappa p_*^2 + p_*^4)}{C^2 \beta p_*^4 (1 + \kappa p_*^2 + p_*^4)}$$

$$A = p_*^2 \left\{ \frac{5p_*^4 - 1 - 6\kappa p_*^2 - 5\kappa^2 p_*^4}{(1 + \kappa p_*^2)(p_*^4 + \kappa p_*^2 + 3)} - \left[ \frac{4 + 5\kappa p_*^2 + \kappa^2 p_*^4}{(1 + \kappa p_*^2)(p_*^4 + \kappa p_*^2 + 3)} \right]^2 \right\} \quad (16)$$

В частности при  $\kappa = 0$  (поперечные сдвиги отсутствуют) приходим к уравнению, полученному для изотропной оболочки в [4].

Для каждого  $\gamma$  существует счетное множество  $\tilde{\Lambda}_i(\gamma)$  значений  $\tilde{\Lambda}$ , при которых существуют нетривиальные решения уравнения (15), стремящиеся к нулю, при  $x \rightarrow \pm\infty$ .

На рис.2 приведены функции  $\tilde{\Lambda}_0(\gamma)$  и  $\tilde{\Lambda}_1(\gamma)$  для  $\kappa = 0.037$ ,  $t(\varphi) = 0.5(1 + \cos \varphi)$ ,  $\varphi_0 = 0$ .

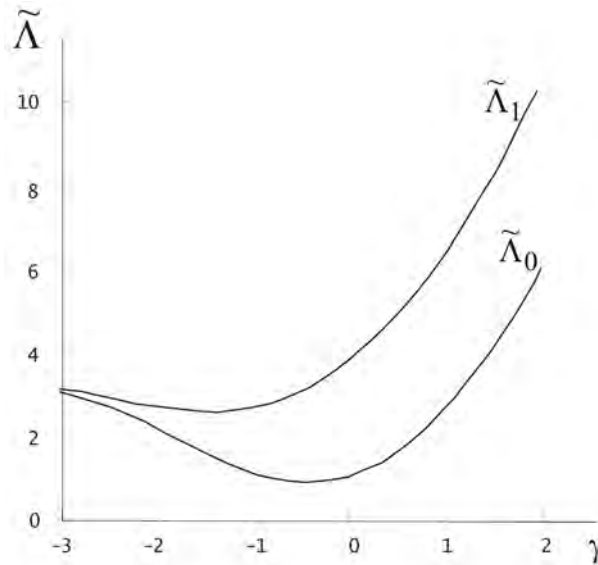


Рис. 2 Графики функций  $\tilde{\Lambda}_0(\gamma)$  и  $\tilde{\Lambda}_1(\gamma)$

Функция  $\tilde{\Lambda}_0(\gamma)$  принимает наименьшее значение  $\tilde{\Lambda}_0 = 0.9006$  при  $\gamma = -0.45$ . Отсюда наименьшая частота достигается при

$$p_m = 1.014 - 0.231\varepsilon^{2/3} \quad (17)$$

а параметр критической нагрузки  $\Lambda$  равен

$$\Lambda_{\min} = 1.963 + 0.861\varepsilon^{4/3} \quad (18)$$

В табл. 1 приведены численные значения  $p_m$ ,  $z_0$ ,  $\lambda_*$ ,  $\lambda'$  и  $\Lambda_{\min}$  в зависимости от параметра  $\kappa$  в случае, когда  $p_m \approx z_0$ .

Таблица 1

$\kappa$	0.037	0.1	0.2	0.25	0.3	0.4
$p_m$	0.978	0.999	1.032	1.047	1.061	1.069
$z_0$	1.014	1.039	1.080	1.102	1.125	1.171
$\lambda_*$	1.963	1.901	1.803	1.755	1.708	1.615
$\lambda'$	0.861	0.790	0.681	0.628	0.574	0.453
$\Lambda_{\min}$	1.984	1.920	1.820	1.770	1.722	1.626

В табл. 2 представлены численные расчеты параметра нагружения нулевого приближения  $\lambda_*$  (в случае  $p_m \approx z_0$ ) и  $\lambda_0$  (в случаях  $p_m > z_0$  и  $p_m < z_0$ ), первого приближения  $\lambda'$  и  $\lambda_1$  соответственно и относительной поправки к параметру нагружения  $\lambda'/\lambda_*$  и  $\lambda_1/\lambda_0$ , в зависимости от параметра  $p_m$ , пропорционального числу волн в осевом направлении. Расчеты были выполнены при  $\kappa=0.037$  и  $t(\varphi) = 0.5(1 + \cos\varphi)$  для трех случаев:  $p_m > z_0$ ,  $p_m < z_0$ ,  $p_m \approx z_0$ . Для первых двух случаев использованы формулы из [3].

Таблица 2

$p_m$	0.844	0.909	0.974	1.014	1.360	1.430	1.490
	$p_m < z_0$			$p_m \approx z_0$	$p_m > z_0$		
$\lambda_0(\lambda_*)$	1.979	1.973	1.967	1.963	2.271	2.389	2.501
$\lambda_1(\lambda')$	3.393	2.540	1.454	0.861	2.360	2.506	2.619
$\lambda_1/\lambda_0$ ( $\lambda'/\lambda_*$ )	1.715	1.287	0.739	0.439	1.039	1.047	1.047

#### ЛИТЕРАТУРА

1. Григолюк Э. И., Куликов Г. М. Многослойные армированные оболочки: Расчет пневматических шин.- М.: Машиностроение, 1988. - 287 с.
2. Mikhasev G., Seeger F., Gabbert U. Local Buckling of Composit Laminated Cylindrical Shells with Oblique Edges under External Pressure: Asymptotic and Finite Element Simulations//Technische Mechanik.- 2001.-Band 21, Heft 1.- P. 1-12.
3. Михасев Г. И., Згирская О. М. Локальная потеря устойчивости тонкой слоистой цилиндрической оболочки при неоднородном осевом сжатии// Веснік ВДУ.- 2001.- № 4.- С. 90-93.
4. Товстик П. Е. Устойчивость тонких оболочек.- М.: Наука. Физматлит, 1995. - 320 с.